

تحقیقات بن
سال هشتم، شماره دو
پائیز و زمستان ۹۴
۷۳ - ۸۵ ص
تاریخ دریافت: ۹۴/۸/۱۷
تاریخ پذیرش: ۹۴/۱۱/۲۸

ارائه مدل جدید ریاضی منحنی‌های برهم‌کنش برای دیوارهای برشی کامپوزیتی

امیر هوشگ اخویسی

دانشیار گروه مهندسی عمران، دانشگاه رازی، کرمانشاه، ایران

* کامبیز دانشور

کارشناسی ارشد سازه، دانشگاه رازی، کرمانشاه، ایران

مorteza mosavi

کارشناسی ارشد سازه، دانشگاه آزاد اسلامی تهران جنوب، تهران، ایران

چکیده

عملکرد الاستیک و غیر الاستیک اعضا سازه‌های قابی می‌تواند توسط منحنی‌های برهم‌کنش نیروی محوری - لنگر خمی در یک فرآیند غیرخطی ارزیابی شود. استفاده از دیوار برشی کامپوزیت در دو دهه اخیر روشی متداول در سازه‌ها می‌باشد. در این تحقیق برای تحقیق بار منحنی‌های اندرکنش نیروی محوری - لنگر خمی برای دیوارهای برشی کامپوزیتی ارائه می‌شود. از این منحنی‌ها می‌توان به منظور تحلیل و طراحی دیوارهای مذکور بدون نیاز به تحلیل‌های غیرخطی برهه جست. این نوع از دیوارهای برشی در ساختمان‌های بلند مرتبه استفاده شده که سختی جانبی، مقاومت خمی، الاف انرژی و شکل‌پذیری بیشتری را نسبت به دیوارهای برشی معمولی دارند. برای انجام تحلیل‌ها از یک روش ساده، کارآمد و سریع برپایه مفاهیم تئوری الیافی استفاده می‌شود. یکی از مزایای قابل توجه این روش سرعت بسیار بالای آن در تحلیل غیرخطی اعضا سازه‌ای است که آن را نسبت به دیگر روش‌ها متمایز می‌سازد.

واژه‌های کلیدی: منحنی برهم‌کنش، تحلیل غیرخطی دیوارهای برشی کامپوزیتی، تئوری الیافی، نمودار لنگر - انحنای.

* نویسنده مسئول: h.mosavi@webmail.guilan.ac.ir

۱- مقدمه

ساگی و مایادا (۱۹۹۶) نتایج آزمایش‌های بارگذاری چرخه‌ای و یکنواخت را روی ۱۴ دیوار برشی فولادی ارائه دادند. قاب‌های مرزی از فولادهای مرکب با مقطع فولادی I شکل که در مقاطع بتن آرمه‌ای محاط بودند، تشکیل شده بود. نتایج تحقیق بیانگر آن بود که کلیه نمودارهای هیسترزیس نمونه‌ها به دلیل کمانش فشار قطری افت نسبی داشت [۷].

آستانه اصل و همکاران (۲۰۰۱) [۸] دیوارهای برشی فولادی و کامپوزیتی را مورد بررسی قرار دادند. در تعدادی از این نمونه‌ها از یک لایه بتی نیز بر روی صفحه فلزی استفاده شد. طبق نتایج منتشره وجود لایه بتی موجب توزیع مناسب‌تر تنش‌های حاصله و صفحه فولادی شده و متعاقب آن خطوط کشش قطربی در محدوده ی وسیع‌تری تشکیل می‌شود که این رفتار موجب بهبود عملکرد سیستم و افزایش ظرفیت برشی می‌شود.

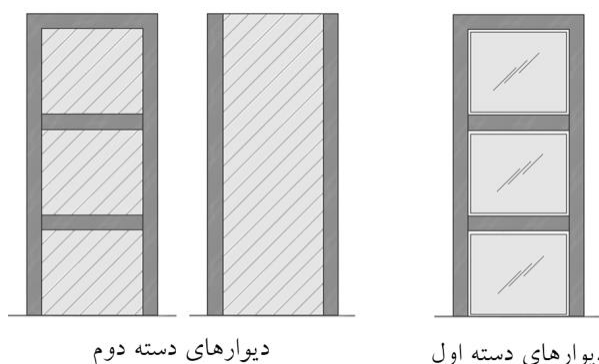
«دن» و همکاران (۲۰۱۱) ۵ نمونه دیوار برشی کامپوزیتی با المان مرزی فولادی (CSRCW) همراه یک نمونه دیوار برشی معمولی با درصد یکسان فولاد مورد آزمایش قرار دادند. نتیجه این بود که اتلاف انرژی و شکل‌پذیری در دیوارهای برشی کامپوزیتی به ترتیب ۱۲٪ و ۶٪ بیشتر از دیوارهای برشی معمولی هستند [۹].

«لیو» و همکاران (۲۰۱۲) دو نمونه دیوار برشی بتن مسلح معمولی را با دو نمونه دیوار برشی بتن مسلح با المان‌های مرزی فولادی (CSRCW) با نسبت ارتفاع به عرض متفاوت را مورد ارزیابی آزمایشگاهی قرار دادند، بررسی‌ها نشانگر برتری دیوارهای کامپوزیتی و شکل‌پذیر بودن بیشتر این گونه از دیوارها نسبت به سیستم‌های معمولی بود [۱۰].

استفاده از دیوار برشی به اشکال گوناگون بتن مسلح، فلزی و یا ترکیب آن‌ها به عنوان سیستم مقاوم در برابر بارهای جانبی روش متداول در سازه‌ها می‌باشد.

تا حدود ۳۰ سال پیش تنها دیوارهای برشی بتن مسلح مورد استفاده قرار می‌گرفت اما طی دو دهه اخیر مطالعات و تحقیقات گسترده‌ای روی دیوارهای برشی فلزی و مرکب صورت گرفته است که منجر به استفاده روزافروز این سیستم‌های ابتکاری در سازه‌های نو ساز و مقاوم سازی سازه‌های موجود شده است [۱].

در بخش دوم از آین نامه Eurocode 8 [۲] و آین نامه AISC [۳] ضوابط طراحی مربوط به ساختمان‌های مرکب فولادی و بتن آرمه معروفی شده است. در آین نامه‌های مذکور دیوارهای برشی کامپوزیتی به دو دسته کلی تقسیم می‌شوند. دسته اول دیوارهای برشی فولادی با پوشش بتی پیش‌ساخته یا درجا که با برش گیرها به ورق فلزی متصل می‌شوند (CSPW) و دسته دوم دیوارهای برشی بتن مسلح با المان‌های مرزی فولادی هستند (CSRCW) که در آن‌ها از پروفیل‌ها یا تیوروق‌های فولادی برای تقویت جز مرزی بهره گیری می‌شود. (شکل ۱).



شکل ۱- انواع دیوارهای برشی

دیوارهای دسته اول

دیوارهای دسته دوم

۲- مدل اجزای محدودی و تئوری الیافی

از اوخر دهه ۱۹۶۰ شکل‌های مختلفی از المان‌های اجزای محدود جهت مدل‌سازی دیوارهای برشی ارائه شده‌اند. از آن پس برای پیش‌بینی رفتار غیرخطی دیوارهای برشی در مدل‌های با مقیاس کوچک از روش اجزای محدود استفاده می‌شود. در این روش عضو بتن آرمه به وسیله تعدادی المان مجزا می‌شود. تعداد المان‌ها با توجه به دقت مورد نیاز انتخاب شده و رفتار مصالح نیز توسط روابط ساختاری که معمولاً ساده می‌باشند، معرفی می‌گردد. اگرچه استفاده از روش اجزای محدود میکرو برای مدل‌سازی دیوارهای برشی به دلیل دقت بالا بسیار مورد توجه است اما در این

طی بیست سال اخیر میزان قابل توجهی از تحقیقات در آمریکای شمالی و ژاپن بر رفتار این دیوارها، حین بارهای رفت و برگشتی و مدل‌های تحلیلی مربوط به آن‌ها متمرکز شده است.

محققان دانشگاه آلبتا (تیمر و کولاک ۱۹۹۱، کولاک ۱۹۹۷) در ایرو و همکاران (۱۹۹۶)، آزمایش‌هایی را با بارگذاری یکنواخت و چرخه‌ای بر روی دیوارهای برشی فولادی بدون سخت کننده انجام دادند. نتایج این آزمایش‌ها نشانگر شکل‌پذیری زیاد و اضافه مقاومت بالای این سیستم بود [۶، ۵، ۴].

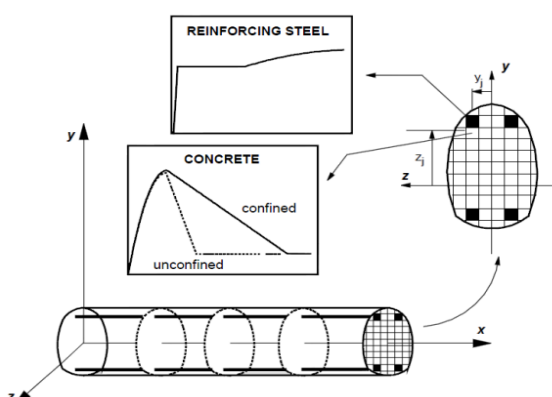
منحنی های برهم کش دیوارهای برشی کامپوزیتی ارائه گردد. البته ایشان برای تحلیل دیوارهای آجری مسلح نیز از مدل فوق ذکر استفاده نمودند [۱۴، ۱۵، ۱۶].

شایان ذکر است روش اجزای محدود معرفی شده در این مطالعه به صورت المان های یک بعدی برای تحلیل دو بعدی سازه ها می باشد. این المان ها دارای دو گره و سه درجه آزادی در هر گره می باشند. این المان ها به صورت سری به یکدیگر متصل می شوند. بنابراین ماتریس سختی کل سازه در مختصات محلی را می توان به صورت زیر معرفی کرد [۱۳].

$$\begin{bmatrix} K^e \end{bmatrix} = \begin{bmatrix} R \end{bmatrix}^t \left(\begin{bmatrix} F_{lex}^{beam} (bnd) \end{bmatrix} + \begin{bmatrix} F_{lex}^{beam} (shr) \end{bmatrix} \right. \\ \left. + \begin{bmatrix} F_{lex}^{HJ} \end{bmatrix} + \begin{bmatrix} F_{lex}^{HJ} \end{bmatrix} \right)^{-1} \begin{bmatrix} R \end{bmatrix} \quad (1)$$

$$\begin{bmatrix} R \end{bmatrix} = \begin{bmatrix} -1 & 0 & 0 & 0 & 1 & 0 \\ 0 & 0 & 1 & 0 & 0 & 0 \\ 0 & 0 & 0 & 0 & 0 & 1 \end{bmatrix} \quad (2)$$

$\begin{bmatrix} F_{lex}^{beam} (shr) \end{bmatrix}$ و $\begin{bmatrix} F_{lex}^{beam} (bnd) \end{bmatrix}$ به ترتیب ماتریس های نرمی خمی و برشی در المان تیر ستون می باشند. $\begin{bmatrix} F_{lex}^{HJ} \end{bmatrix}$ و $\begin{bmatrix} F_{lex}^{HJ} \end{bmatrix}$ ماتریس ماتریس نرمی به ترتیب در گره های آ و ز می باشند. $[R]$ ماتریس انتقال المان تیر-ستون می باشد. در روش نیرو با معکوس کردن ماتریس نرمی سازه، ماتریس سختی سازه $[K^e]$ حاصل می گردد. برای مشاهده فرمول بندی کلی روش فیری به مرجع [۱۳] مراجعه شود. به محض این که افزایش کرنش هر تار محاسبه شد، تنش تار (σ_i) و مدول الاستیستیه تار (E_i) براساس رابطه تنش-کرنش (ϵ_i) مصالح، محاسبه می شوند. یک الگوریتم ساده برای محاسبه تنش فیرها و مدول الاستیستیه بر اساس منحنی رفتاری بتن و فولاد، در (شکل ۲ و ۳) نشان داده شده است [۱۷].



شکل ۲- مدلسازی فایبر [۱۳]

روش به دلیل نیاز به حل دستگاه معادلات بزرگ در فضای دو یا سه بعدی زمان بسیار زیادی صرف انجام عملیات تحلیل خواهد شد که استفاده از این مدل را برای مدلسازی سازه های بزرگ تقریباً غیر عملی می نماید. بدین سبب روش اجزای محدود مزو (متوسط مقیاس) به عنوان روشی ساده، سریع و کارآمد برای تحلیل عددی

غیر خطی سازه های بتن مسلح ارائه شده است [۱۱].

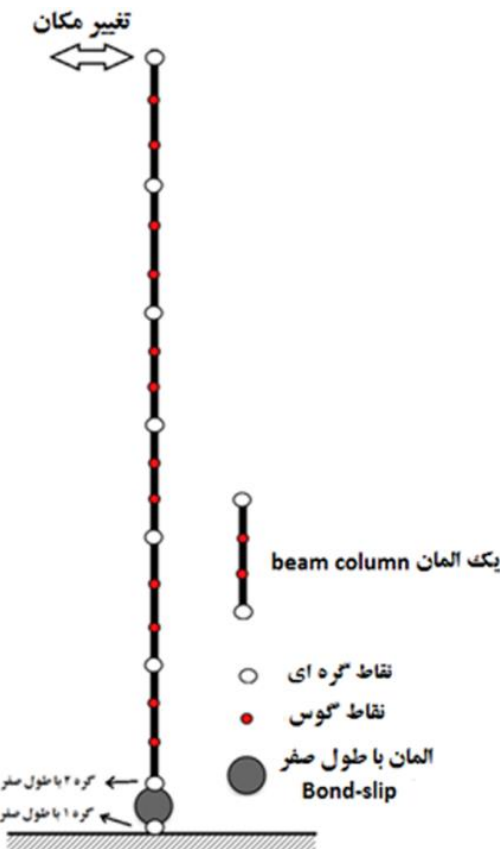
در این راستا مدل های کلاف و گیرسون (۱۹۶۷) ارائه شده اند. در مدل کلاف از یک منحنی دو خطی جهت مدلسازی رابطه ممان چرخش در فترهای انتهایی استفاده شده است. تاکیزاوا (۱۹۷۶) این مدل را به کمک یک منحنی به مدلی کاراتر جهت مدلسازی خرابی سازه بتی در بارگذاری یک جهت تبدیل نمود (پلاستیسیته متتمرکز) [۱۲].

سلیمانی و همکاران (۱۹۷۹) مدلی را ارائه نمودند که در آن یک ناحیه تغییر شکل های غیر الاستیک به تدریج تحت تاثیر تاریخچه بارگذاری از فصل مشترک تیر و ستون آغاز شده و در ادامه به داخل اعضاء گسترش یافته و باقیمانده اعضاء الاستیک باقی می ماند [۲۶].

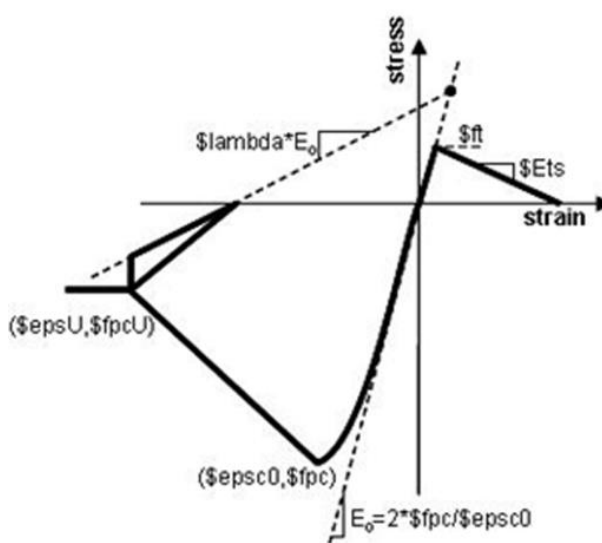
داروال و مندیس (۱۹۸۵) مدل مشابه اما ساده تری را ارائه نمودند. در این مدل از یک منحنی سه خطی ممان-انحناء جهت مدلسازی استفاده شده است [۲۷]. فیلیو و همکاران (۱۹۸۸) از روش دیگری جهت تقسیم بندی المان های بزرگتر به المان های کوچکتر استفاده نمودند. در این مدل ها عضو مدل شده به تعدادی الیاف طولی تقسیم می گردد. مشخصات هندسی این الیاف شامل مختصات هندسی این الیاف و محل قرارگیری آنها و سطح مقطع آنها می باشند. پاسخ یک تار وابسته به رابطه تنش-کرنش تک محوری تعریف شده برای مواد سازنده آن تار می باشد. در این روش فرض بر این است که جایجایی ها و تغییر شکل ها، بسیار کوچک هستند. کرنش و شکل پذیری تارها بوسیله روابط تنش-کرنش بر اساس نیروهای محاسبه شده در سطح مقطع به دست می آید (پلاستیسیته گستردگی) [۱۳].

اخویسی و همکاران (۲۰۱۱) با استفاده از سطوح تسلیم (Hierarchical Single-Surface) برای بتن و المان های دو گرهی برای فولاد، اعضای سازه های خمی بتی را تحلیل کردند. با توجه به زمان بر بودن روش مذکور در این تحقیق تلاش شده است با بهره گیری از المان های دو گرهی،

فشاری بتن و کرنش نظری آن، مقاومت حد نهایی بتن همراه کرنش نظری آن، مقاومت کششی بتن و شیب نظری مرحله زوال مقاومت بتن در کشش را به عنوان داده ورود دریافت می نماید [۱۸] (شکل ۵).

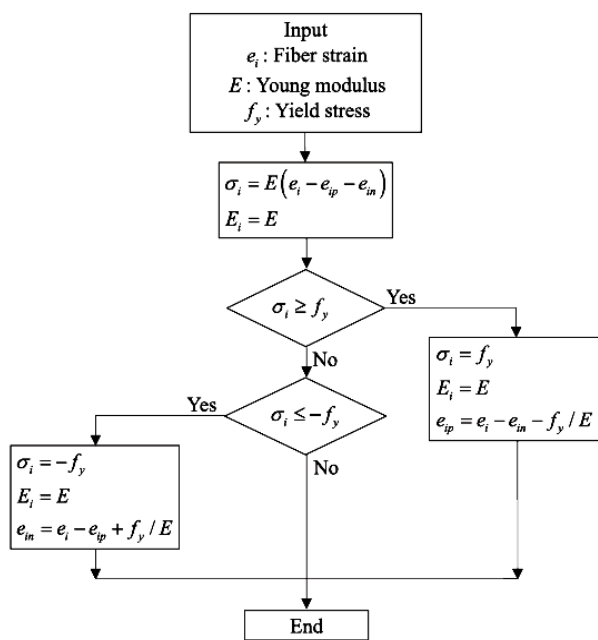


شکل ۴- نحوه مدلسازی انجام شده دیوارها با المانهای فایبر



شکل ۵- پارامترهای ماده [۱۸] Concrete02

برای مدلسازی میلگرد از مصالح *ReinforcingSteel* موجود در کتابخانه نرم افزار استفاده شد (شکل ۶).



شکل ۳- الگوریتم محاسبه تنش و کرنش در مقاطع [۱۷]

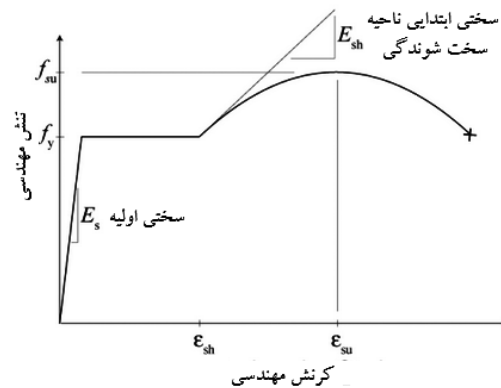
۳- بررسی عددی و اعتبارسنجی روش تحلیلی

مدل سازی و تحلیل دیوارهای برشی کامپوزیتی با استفاده از نرم افزار *OpenSees* انجام شده است. این نرم افزار با کار تحقیقاتی گستردۀ *OpenSees* در دانشگاه برکلی آمریکا توسعه یافته است. نرم افزار *OpenSees* این اختیار را به کاربر می دهد که مصالح، المان‌ها، و الگوریتم‌های حل مختلف و مناسب‌تر برای شیوه‌سازی یک تحلیل خاص را انتخاب کند [۱۸]. برای مدل سازی دیوارهای برشی بتن مسلح، از روش مدل سازی به صورت المان تیر-ستون استفاده شده است (شکل ۴). در این نرم افزار به منظور مدل سازی رفتار غیر خطی المان‌های تیر-ستون به صورت دسته‌ایی از رشته‌های طولی بتنی و فولادی در نظر گرفته می شوند و از جمع اثر رفتار رشته‌ها و یا به بیان دیگر فیبرهای بتنی و فولادی، رفتار المان بتن مسلح برآورده می شود. در مدل فیبری فرض می شود که رشته‌های طولی بتنی و فولادی فقط به صورت محوری اثر می کنند. لذا اثرات ناشی از خرابی برشی در تحلیل منظور نمی شود. اما با توجه به این که در مرحله طراحی می‌توان سازه را به گونه‌ای طراحی کرد که رفتار خشمی حاکم باشد، بنابراین تا حدود زیادی این خطا از بین خواهد رفت. پریسلی و همکاران برای بررسی رفتار دیوار برشی با نسبت ارتفاع به طول بزرگتر از ۳ از مدل فیبری استفاده کرده است [۱۹].

برای مدل سازی بتن از میان مصالح موجود ماده‌ای به عنوان مورد استفاده قرار گرفت. این ماده مقادیر مقاومت *Concrete02*

جدول ۲- مشخصات بتن [۹]

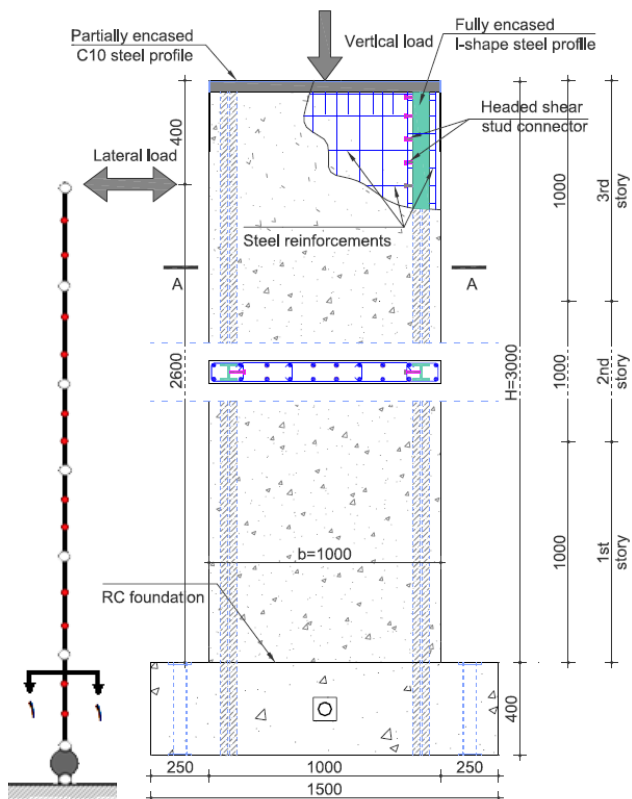
نوع	No. of samples	f'_c (N/mm ²)	E_c (N/mm ²)
CSRCW1	۳	۶۲/۰	۳۸۰۳۱
CSRCW2	۳	۶۵/۶	۳۸۶۸۰



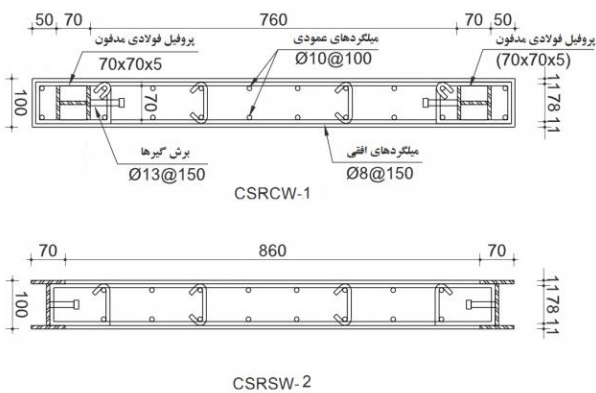
شکل ۶- پارامترهای ماده [۱۸]

این مصالح به منظور مدل سازی تارهای فولادی در سطح مقطع های فایبری توسعه داده شده است. برتری این مصالح نسبت به سایر فولادها موجود در این نرم افزار توانایی خاص در مدل سازی ناحیه سخت شوندگی، مدل سازی کمانش و خستگی مصالح در بارگذاری چرخه ای می باشد. این مصالح شبیه اولیه، مقاومت تسلیم، کرنش انتهای ناحیه پلاستیک، شبیه مماس بر منحنی تنش و کرنش در مرحله سخت شوندگی، کرنش نظری نقطه مقاومت نهایی و مقاومت نهایی فولاد را به عنوان داده ورودی دریافت می نماید [۱۸].

دن و همکاران (۲۰۱۱) چندین نمونه از دیوارهای برشی کامپوزیتی را مورد آزمایش قرار دادند که به منظور صحبت سنجی روش فیری مورد مطالعات عددی قرار می گیرند. ویژگی های هندسی و مواد و چگونگی بارگذاری در ادامه ارائه شده است [۹]. مشخصات بتن و فولاد مصرفی در جدول ۱ و ۲ ارائه شده است. نمای طولی و مقطع دیوارهای مذکور در شکل های (۷) و (۸) مشاهده می شود.



شکل ۷- نمای طولی دیوار برشی کامپوزیتی و شرایط مرزی [۹]

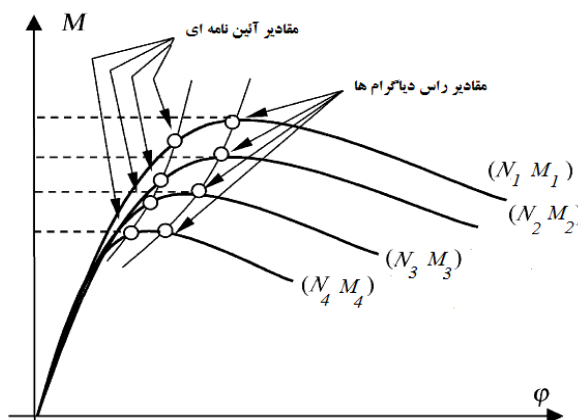


شکل ۸- جزئیات دیوارهای برشی کامپوزیتی مقطع ۱-۱ [۹]
الگوی بارگذاری به صورت اعمال تغییر مکان به قسمت بالای دیوار است (شکل ۹). همان گونه که شکل های (۱۰) و (۱۱) مشاهده می شود مدل ساخته شده به خوبی مقادیر سختی اولیه، مقاومت نهایی، نظری ترک خوردگی دیوار، تسلیم میلگردها و انرژی جذب شده توسط دیوار که برابر با مجموع مساحت داخلی حلقه ها

جدول ۱- مشخصات فولاد [۹]

نوع	قطر میلگرد یا ضخامت ورق (mm)	تش تسلیم (N/mm ²)	تش نهایی (N/mm ²)	مدول الاستیسیته (N/mm ²) × ۱۰ ^۵
میلگرد	۱۰	۵۲۶	۶۲۶	۲/۱۰
	d10-1			
	۱۰	۵۵۹	۶۲۴	۲/۱۵
پروفیل I شکل	۱۰	۵۵۸	۶۱۶	۲/۰۹
	d10-3			
	t-7	۳۲۸	۵۱۵	۲/۰۰
	s-0-1			
	t-7	۳۲۴	۵۱۳	۲/۰۱
	s-0-2			
	t-7	۳۳۱	۵۲۱	۲/۰۵
	s-0-3			

۴- ارائه مدل جدید ریاضی منحنی‌های برهم‌کنش مقاومت مقاطع بتن مسلح تحت نیروی محوری و لنگر خمی معمولاً به وسیله سطوح برهم کنش نشان داده می‌شود. برای برآورده شدن نیازهای تحلیل غیرخطی دانستن جزئیات سطوح برهم‌کنش بسیار مهم است زیرا تغییر شکل پلاستیک یک المان سازه‌ای تابع تاریخچه بارگذاری آن و فاصله بردار بار آن تا این سطح می‌باشد [۲۰]. هر نقطه‌ای روی این منحنی ارائه دهنده مجموعه‌ای از مقادیر نیروی محوری و لنگر خمی می‌باشد که با یکدیگر موجب گسیختگی مقطع می‌شود [۲۱]. در (شکل ۱۲) یک نمونه دیاگرام لنگر انحنا برای مقادیر مختلف بار محوری نشان داده شده است. مشاهده می‌شود که نقاط اوچ دیاگرام‌ها همان مقادیر استفاده شده در ساخت سطح برهم‌کنش می‌باشد و مقادیر استفاده شده در آین نامه‌ها از مقادیر حداکثر کمتر است [۲۲].

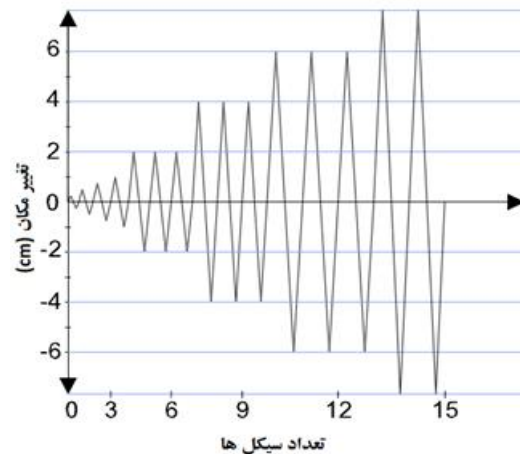


شکل ۱۲- نمونه دیاگرام لنگر- انحناe [۲۲]

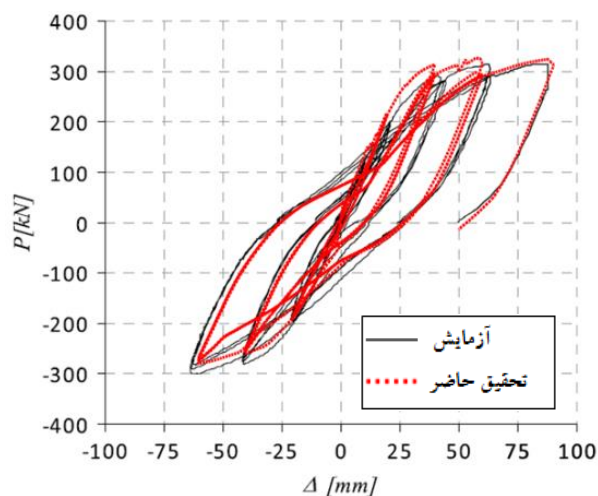
چنین نمودارهای طراحی به وسیله الگوریتم‌های عددی برای انواع ستون‌ها و برخی مقاطع با اشکال متعارف ساخته شده‌اند. شکل و اندازه این سطوح به هندسه مقطع، خصوصیات و قوانین تشنه-کرنش مصالح، مقدار میلگردهای طولی و نحوه‌ی چیدمان آنها در مقطع بستگی دارد [۲۱].

در این بخش از تحقیق، هدف ارائه منحنی‌های برهم‌کنش دیوارهای برشی کامپوزیتی بر اساس متغیرهایی چون: درصد میلگرد، درصد پروفیل، مقاومت بتن و مقاومت میلگردها، می‌باشد. با در اختیار داشتن منحنی‌های برهم‌کنش با پارامترهای ذکر شده و ارائه روابطی برای نرمالیزه کردن این منحنی‌ها و رگرسیون‌گیری از آنها می‌توان به روابطی کلی برای ترسیم منحنی‌های برهم‌کنش بدون نیاز به انجام تحلیل‌های لنگر- انحناe به ازای هر بار محوری دست یافت. برای ترسیم منحنی‌های لنگر انحناe در نرم افزار

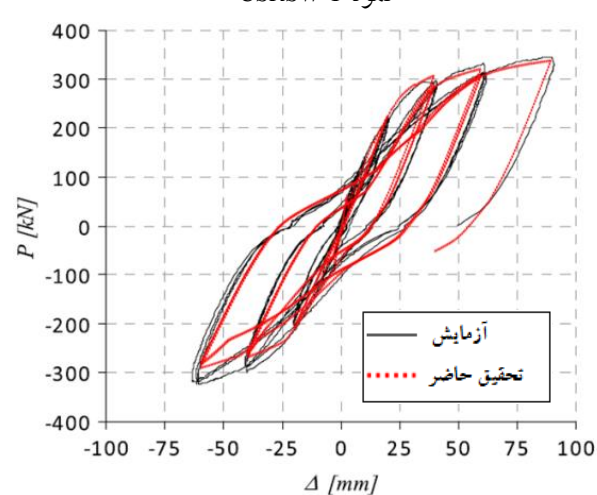
به علاوه مساحت زیر منحنی پوش می‌باشد، پیش‌بینی نموده و صحت مدل‌سازی انجام شده و روش فیبری را تأیید می‌گردد.



شکل ۹- بارگذاری در تراز فوقانی [۹]



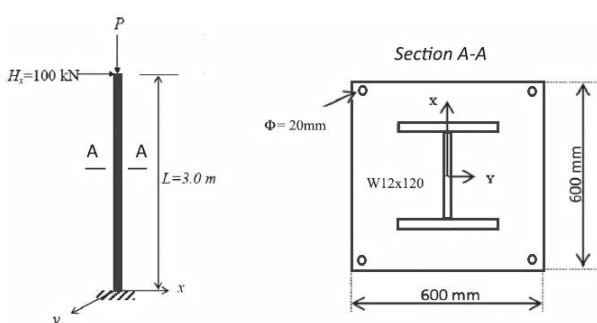
شکل ۱۰- مقایسه منحنی هیسترزیس آزمایشگاهی و روش فیبری نمونه CSRSW-1



شکل ۱۱- مقایسه منحنی هیسترزیس آزمایشگاهی و روش فیبری نمونه CSRSW-2

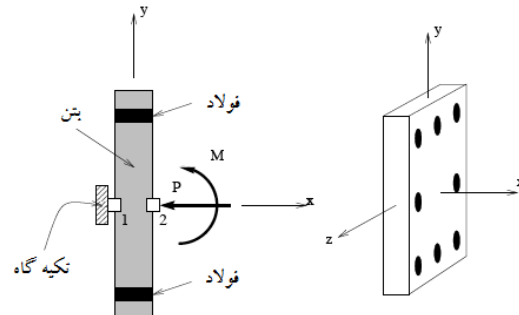
در تحقیق دیگری که توسط چایرین (۲۰۱۳) انجام شد [۲۴] سطون کامپوزیتی با ابعاد ۶۰ سانتیمتر در ۶۰ سانتیمتر و طول ۳۰۰ سانتیمتر به همراه پروفیل فولادی مدفعون W12x120 مورد ارزیابی قرار گرفت (شکل ۱۶). نمودار لنگر انحنای حول محور قوی تحت بارهای محوری ۲۰۰۰ تا ۱۲۰۰۰ کیلونیوتن ارائه شد (شکل ۱۷) و بر اساس آن نمودار اندرکنش نیروی محوری و لنگر خمی برای این مقطع ترسیم گردید (شکل ۱۸). لازم به ذکر است مقاومت بتن در فشار برابر 20 MPa و کرنش متناظر با مقاومت بیشینه بتن برابر 0.002 MPa و کرنش نهایی بتن برابر 0.0035 MPa و مدول الاستیسیته پروفیل فولادی و میلگرد برابر 200 GPa و مقاومت تسیلیم فولاد برابر 400 MPa می باشد.

با روی داشت به نتایج حاصل از صحت سنجی، تایید صلاحیت روش فیبری و مدلسازی ارائه شده احراز می گردد؛ با پشتونه این دستاوردهای مطلوب به بررسی نمودارهای برهم کنش دیوارهای برشی کامپوزیتی پرداخته شد. ارائه یک رابطه تحلیلی به منظور بررسی نمودارهای برهم کنش دیوارهای برشی کامپوزیتی به علت دخیل بودن پارامترهای مختلفی همچون درصد فولاد میلگرد، درصد فولاد پروفیل، مقاومت های متفاوت بتن، مقاومت های متفاوت فولاد و ویژگی های هندسی، کار چندان ساده ای نخواهد بود [۲۱]. بنابراین سعی بر آن است با انجام صدها تحلیل با در نظر گرفتن پارامترهای مختلف و با بهره گیری از روابط ارائه شده خاصی به منظور نرمالیزه کردن نمودارها، روابطی جامع برای تعریف نمودارهای برهم کنش نیروی محوری و لنگر خمی ارائه شود. با استفاده از این روابط جامع، بدون نیاز به انجام تحلیل های لنگر- انحناء، نمودار برهم کنش نیروی محوری- لنگر خمی هر نوع مقطعی به دست می آید.

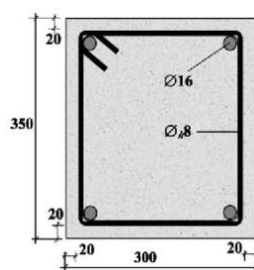


شکل ۱۶- ستون کامپوزیتی [۲۰]

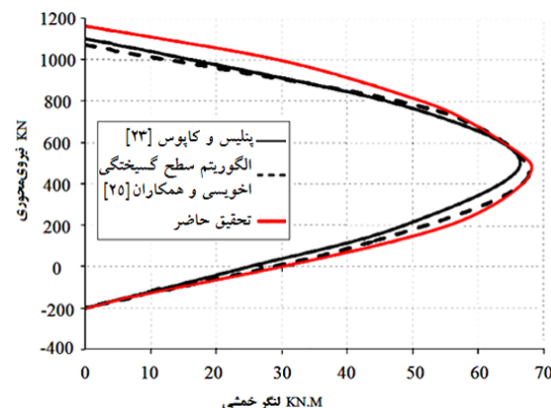
قطعه مورد نظر مشبندی شده و به یک المان با طول *OpenSees* صفر که بین دو نقطه ۱ و ۲ تعریف می شود، نسبت داده می شود (شکل ۱۲). بار محوری به صورت ثابت در هر تحلیل انتخاب شده و لنگر در هر مرحله به صورت افزایشی اعمال شده و انحنای ثبت می شود. به منظور صحت سنجی مدلسازی روش فیبری، منحنی اندرکنش نیروی محوری- لنگر خمی مقطع بتن مسلح (شکل ۱۴) که پیشتر توسط پنلیس و کاپوس [۲۳] بر اساس نتایج آزمایشگاهی به دست آورده شده است با منحنی اندرکنش همان مقطع که توسط روش فیبری محاسبه شده است، مورد بررسی و مقایسه قرار گرفت.



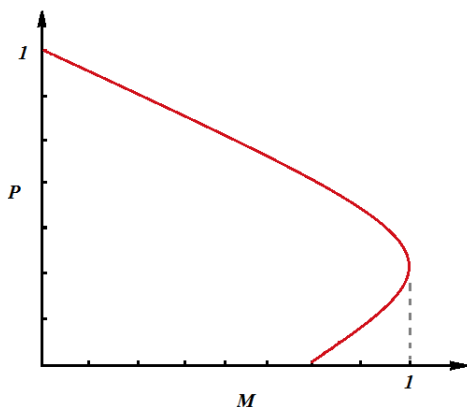
شکل ۱۴- مدلسازی برای ترسیم نمودار لنگر- انحناء [۱۸] در مقطع مورد نظر مقاومت فشاری بتن $15/98 \text{ MPa}$ ، مقاومت کششی بتن $1/45 \text{ MPa}$ ، تنش جاری شدن میلگردهای طولی $215/75 \text{ MPa}$ در نظر گرفته شده اند. ضریب تقلیل مقاومت بتن و فولاد به ترتیب برابر 0.65 و 0.85 . در نظر گرفته شده اند [۲۵].



شکل ۱۴- مشخصات مقطع بتن مسلح



شکل ۱۵- مقایسه تحقیق حاضر و سایر تحقیقات



شکل ۱۹- نمونه منحنی نرمالیزه شده برهم کنش

$$P_u = A_a f_{yp} + A_s f_{ys} + \alpha (A_g f_c' + A_g' k f_c') \quad (4)$$

$$M_u = f_{yp} (W_{p1}) + [0.5 f_c' (W_{p2} - W_{p1}') + 0.5 k f_c' (W_{p2} - W_{p1}') + \dots] + f_{ys} (W_{ps}) \quad (5)$$

$$\begin{cases} \text{if } f_c' > 28 \text{ MPa} & \alpha = 0.953 \\ \text{if } f_c' \leq 28 \text{ MPa} & \alpha = 0.923 \end{cases} \quad (6)$$

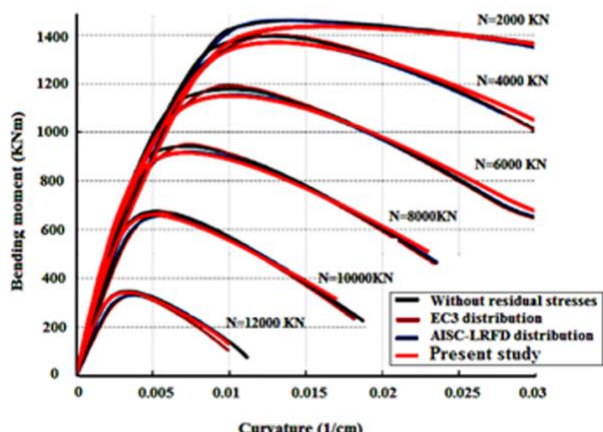
شایان توجه است، روابط (۴) تا (۶) ارائه شده توسط آین نامه اروپا [۳] برای مقاطع معمولی بدون حضور پروفیل در مقطع می باشد که با اندکی تغییر در اینجا نیز به کار گرفته شده است. در کار حاضر نسبت به آین نامه اروپا مقدار α به صورت ثابت به منظور تطابق بیشتر با تحلیل های غیر خطی انجام شده در نظر گرفته شده است. در ادامه ابتدا منحنی های اندرکنش برای بتن های با رده مقاومتی (۲۰) تا (۲۸) مگاپاسکال و سپس (۲۸ تا ۳۵) مگاپاسکال ارزیابی می شوند.

قسمت اول: بتن با مقاومت بین ۲۰ MPa تا ۲۸ MPa، در این قسمت ۱۶ نمودار و حدود ۲۱۸ نقطه موجود می باشد، شرایط نقاط قبل و بعد از نرمالیزه کردن در شکل های (۲۰ تا ۲۲) مشاهده می شود.

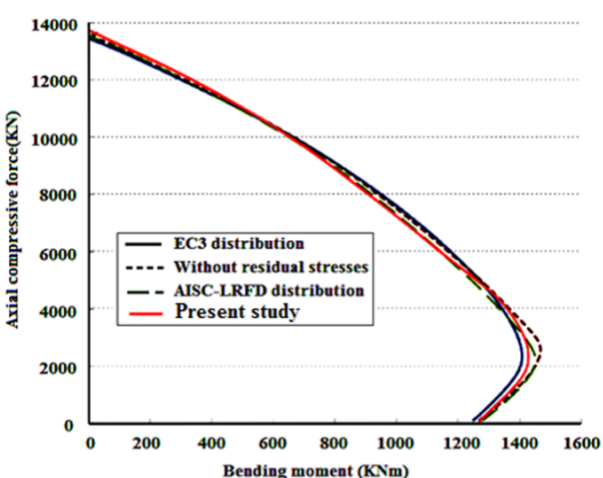
معادله کلی نمودار مربوط به قسمت اول به صورت زیر می باشد:

$$\frac{P}{P_u} = 0.724 + 1.685 \left(\frac{M}{M_u} \right) - 2.170 \left(\frac{M}{M_u} \right)^2 - 1.822 \left(\frac{M}{M_u} \right)^3 + 1.597 \left(\frac{M}{M_u} \right)^4 \quad (7)$$

درصد خطای میانگین در معادله فوق $4/3\%$ و ضریب همبستگی $-0.99/3$ می باشد.



شکل ۱۷- مقایسه نمودار لنگر-انحناء روش فیری و سایر تحقیقات



شکل ۱۸- مقایسه نمودار برهم کش روش فیری و سایر تحقیقات

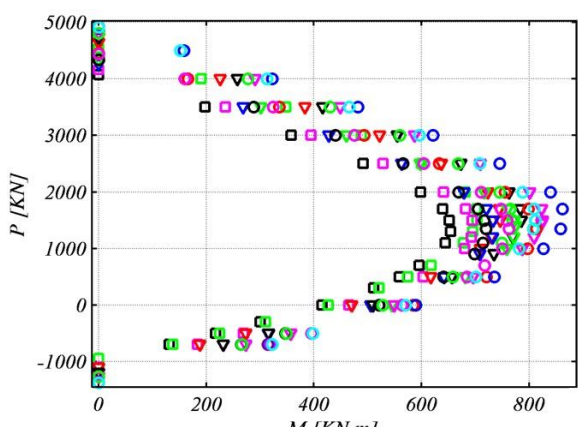
به منظور بدست آوردن روابط جامع برای منحنی های برهم کش، حدود ۴۰۰ تحلیل با در نظر گرفتن پارامتر های مختلف انجام و در هر تحلیل به ازای یک نیروی محوری خاص، لنگر خمسی ثبت می شود. پارامتر های متغیر در تحلیل ها به این صورت تغییر کردند: مقاومت مشخصه بتن 20 MPa ، 25 MPa ، 28 MPa ، 30 MPa ، 35 MPa انتخاب شده اند و مقاومت فولاد پروفیل 20 MPa ، 30 MPa ، 40 MPa انتخاب شده و درصد فولاد پروفیل به ترتیب $1/5$ ، $2/7$ ، $2/3$ ، $2/4$ و $1/6$ درصد فولاد میلگرد به ترتیب پروفیل به ترتیب $1/5$ ، $2/7$ ، $2/3$ ، $2/4$ و $1/6$ انتخاب شده است. به علت گستره وسیع پارامترها و متعاقباً گستره وسیع نقاط و منحنی های بدست آمده، نرمالیزه کردن نمودارهای اندرکنش با معیار مناسب اجتناب ناپذیر می باشد. بنابراین با بررسی های صورت گرفته بر روی نمودارها دو رابطه زیر برای نرمالیزه کردن نمودارها ارائه می شود که به نظر می رسد بهترین کارایی را در کوچک کردن گستره نقاط دارا می باشد.

قسمت دوم: بتن با مقاومت ۳۵ MPa تا ۲۸ MPa در این قسمت ۲۰ نمودار بر هم کنش با حدود ۲۹۵ نقطه قرار گرفته است که در حالت نرمالیزه نشده و حالت نرمالیزه شده در شکل های (۲۳ تا ۲۶) مشاهده می شود.

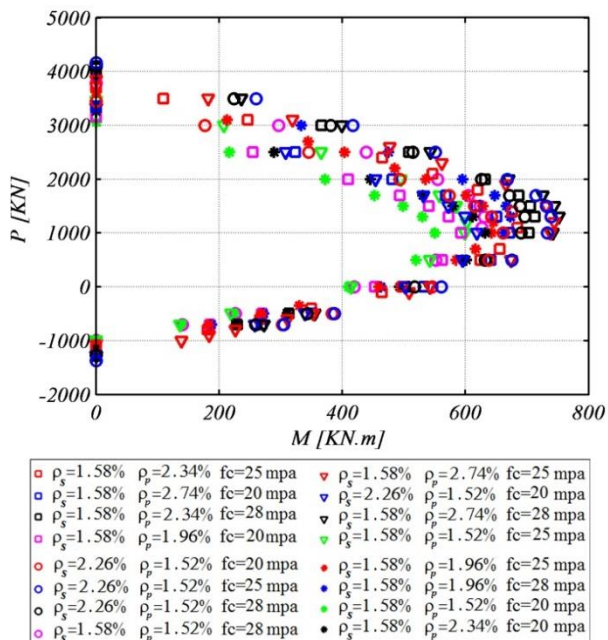
معادله کلی نمودار مربوط به قسمت دوم به صورت زیر می باشد:

$$\frac{P}{P_u} = 0.677 + 1.903 - 2.373 \left(\frac{M}{M_u} \right)^2 - 1.939 \left(\frac{M}{M_u} \right)^3 + 1.741 \left(\frac{M}{M_u} \right)^4 \quad (\lambda)$$

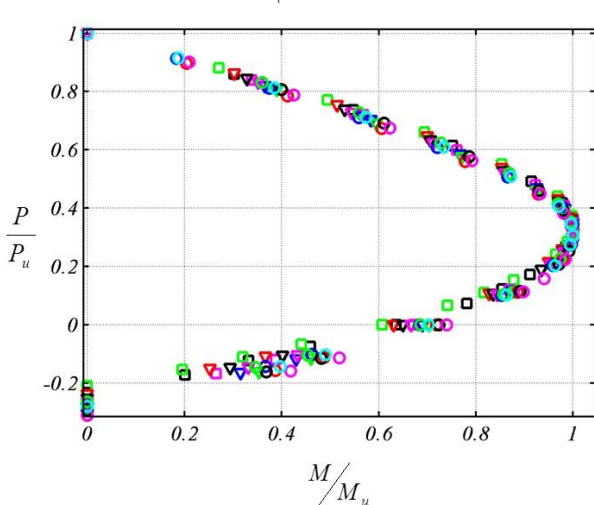
درصد خطای میانگین در معادله فوق ۴/۳٪ و ضریب درصد خطای میانگین در معادله فوق ۳/۶٪ و ضریب همبستگی ۹۹/۴٪ می باشد.



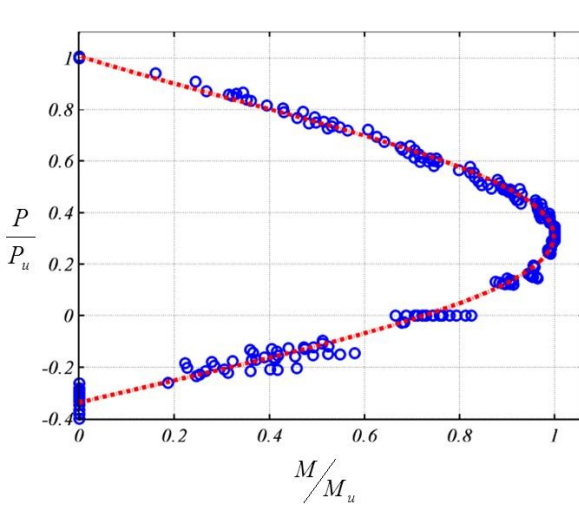
شکل ۲۰- نقاط قسمت اول قبل از نرمالیزه کردن



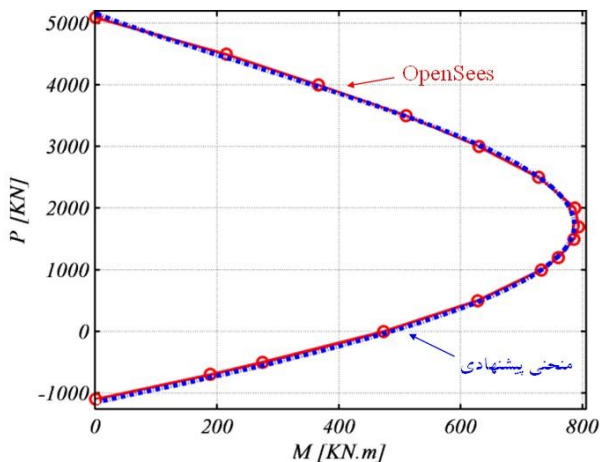
شکل ۲۱- نقاط قسمت اول بعد از نرمالیزه کردن



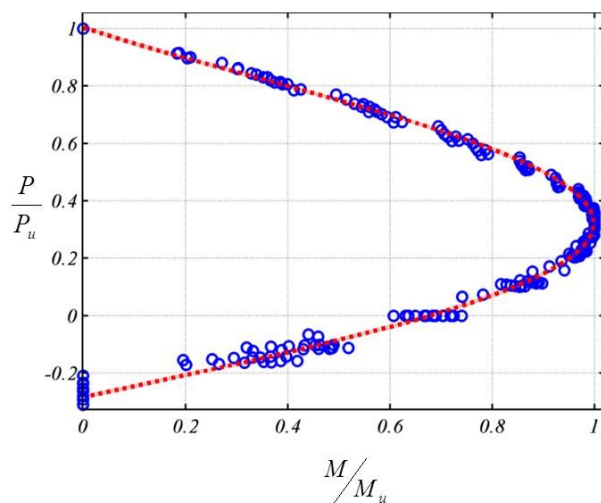
شکل ۲۲- نقاط نرمالیزه شده و معادله رگرسیون نقاط



شکل ۲۳- نقاط نرمالیزه شده و معادله رگرسیون نقاط



شکل ۲۷- مقایسه منحنی پیشنهادی و منحنی حاصل از تحلیل لنگر- انحناء

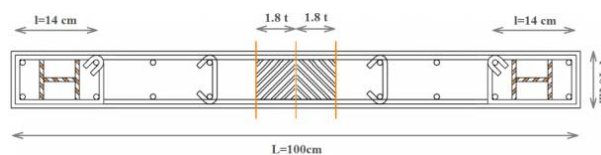


شکل ۲۵- نقاط نرمالیزه شده و معادله رگرسیون نقاط

۵- نتیجه‌گیری

در این تحقیق از روش فیری که روشنی دقیق سریع و کارآمد است، برای تحلیل عددی غیرخطی دیوارهای برشی کامپوزیتی استفاده شد. نتایج حاصل از مدل‌سازی در مقایسه با نتایج آزمایشگاهی نشان می‌دهد که مدل ساخته شده به خوبی مقادیر سختی اولیه، مقاومت ضخامت ۵ mm و با مقاومت تسلیم ۲۴۰ MPa استفاده شده است. شایان توجه است رابطه (۸) برای بتن با رده مقاومتی ۲۸ تا ۳۵ مگاپاسکال به دست آمده است. با این حال به منظور نمایش تووانایی رابطه و وسعت کاربرد آن از بتن با مقاومتی ۴۰ مگاپاسکال استفاده شده است. در این راستا به منظور تعیین منحنی برهم کنش دیوار مذکور ابتدا نیروی محوری و لنگر خمشی نهایی با استفاده از روابط (۴) تا (۶) تعیین سپس با ضرب P_u در محور قائم و M_u در محور افقی در منحنی پیشنهادی منحنی برهم کنش مطابق شکل (۲۷) به دست می‌آید.

نمونه عددی: در این دیوار از بتن با مقاومت ۴۰ MPa، $\rho_s = 0.0098$ در جزء مرزی و 0.031 در قسمت میانی، ۲۰ عدد میلگرد با قطر ۱۰ mm و با مقاومت تسلیم ۴۰ MPa دو عدد پروفیل فولادی با عرض بال ۷۰ mm، ارتفاع ۶۶ mm و با مقاومت تسلیم ۲۴۰ MPa استفاده شده است. شایان توجه است رابطه (۸) برای بتن با رده مقاومتی ۲۸ تا ۳۵ مگاپاسکال به دست آمده است. با این حال به منظور تعیین منحنی برهم کنش دیوار مذکور ابتدا نیروی محوری و لنگر خمشی نهایی با استفاده از روابط (۴) تا (۶) تعیین سپس با ضرب P_u در محور قائم و M_u در محور افقی در منحنی پیشنهادی منحنی برهم کنش مطابق شکل (۲۷) به دست می‌آید.



شکل ۲۶- دیوار برشی مربوط به مثال حل شده

$$P_u = A_d f_{yp} + A_s f_{ys} + \alpha (A_g f_c' + A_g' k f_c' + \dots)$$

$$P_u = 5127 N$$

$$M_u = f_{yp} (W_{p1}) + [0.5 f_c' (W_{p2} - W_{p1}')]$$

$$+ 0.5 k f_c' (W_{p2} - W_{p1}') + \dots] + f_{ys} (W_{ps})$$

$$M_u = 7916.42 KN.m$$

- [6] Timler, P.A. and Kulak, G.L., "Experimental Study of Steel Plate Shear Walls", Structural Eng. Report No. 114, Dep. of Civil Eng., University of Alberta, Edmonton, AB, (1983);
- [7] Sugii, K., Yamada, M. "Steel Panel Shear Walls with and Without Concrete Covering", Proceedings on CD-Rom, 11th World Conference on Earthquake Eng., Acapulco, Mexico. (1996).
- [8] Astaneh-Asl A. Cyclic tests of steel shear walls. Research project. Berkeley: Dept of Civil and Env Engineering, Univ of California; 2000–2001 (Sponsor: General Services Administration and Skilling, Ward Magnusson, Barkshire).
- [9] Dan, D., Fabian, A. Stoian, V. "Second-order inelastic dynamic analysis of steel frames using fiber hinge method" , Journal of Constructional Steel Research, Vol. 67, pp. 800-813, (2011).
- [10] Liao, F., Y. Han, L., H. "Performance of reinforced concrete shear walls with steel reinforced concrete boundary columns", Engineering Structures, Vol. 44, pp.186-209, (2012).
- [11] Akis, T., "Lateral Load Analysis of Shear Wall-Frame Structures", Ph.D.Thesis, The Middle East Technical University, (2004).
- [12] Giberson, M., "The Response of Nonlinear Multi-Story Structures Subjected to Earthquake Excitation", Tech Report, Earthquake Engineering Research Laboratory California Institute of Technology, Pasadena, California, (1967).
- [13] Filippou, F.C., Enrico, s., "A Fiber Beame - Column Element For Seismic Response Analysis Of Reinforced Concrete Structures", Report No-UBC/EERC-91/17 university of california Berkeley., (1991).
- [14] Akhaveissy, A., H., Desai, C. S., "Application of the DSC model for nonlinear analysis of reinforced concrete frames", Finite Elements in Analysis and Design, Vol. 50, pp. 98-107 (2012).
- [15] Akhaveissy, A. H., Desai, C. S., "Unreinforced masonry walls: Nonlinear finite element analysis with a unified constitutive model", Archives of Computational Methods in Engineering 18, 485–502 (2011).
- [16] Akhaveissy, A. H., "Finite element nonlinear analysis of high-rise unreinforced masonry building", Latin American Journal of Solids and Structures, Vol. 8, pp 445-461, (2011)
- [17] Thai, H., T. Kim, S., E. "Second-order inelastic dynamic analysis of steel frames using fiber hinge method", Journal of Constructional Steel Research, Vol. 67, pp. 1485-1494, (2011).
- [18] Open system for earthquake engineering simulation (OpenSees) <http://opensees.berkeley.edu/>

مشخصه بتن مختلف تحلیل شد و با بررسی حدود ۵۱۳ نقطه، دو منحنی کلی بر اساس مقاومت مشخصه بتن به صورت زیر ارائه گردید:

$$\left\{ \begin{array}{ll} & \text{if } 20MPa \leq f'_c \leq 28MPa \\ y = 0.724 + 1.685(x) - 2.170(x)^2 - 1.822(x)^3 + 1.597(x)^4 & \\ & \text{if } 28MPa \leq f'_c \leq 35MPa \\ y = 0.677 + 1.903(x) - 2.373(x)^2 - 1.939(x)^3 + 1.741(x)^4 & \\ y = \frac{P}{P_u} \quad \& \quad x = \frac{M}{M_u} & \end{array} \right. \quad (9)$$

فهرست علائم

M_u	لنگرنهایی مقطع:
W_{p1}	مدول پلاستیک مقطع پروفیل:
f'_c	مقاومت مشخصه بتن:
W_{ps}	مدول پلاستیک میلگردها:
W_{p2}	مدول پلاستیک بخش بتی:
W'_{p2}	مدول پلاستیک بخش میانی با عرض دو برابر ضخامت:
ρ_s	درصد فولاد مقطع مربوط به میلگرد:
P_u	بار محوری نهایی مقطع:
A_a	مساحت کل پروفیل:
f_{yp}	مقاومت تسلیم فولاد:
A_s	مساحت میلگرد:
f_{ys}	مقاومت تسلیم میلگرد:
α	ضریب مقاومت مشخصه بتن:
ρ_p	درصد فولاد مقطع مربوط به پروفیل مرزی:

۶- مراجع

- [1] Rahai, A., Hatamib, F. "Evaluation of composite shear wall behavior under cyclic loadings", Journal of Constructional Steel Research, Vol. 65, pp. 1528-1537, (2009).
- [2] AISC 341-05 Seismic Provisions for Structural Steel Buildings Approved by the AISC Committee on Specifications and issued by the AISC Board of Directors March 9, (2005).
- [3] EN 1998-1. Eurocode 8: Design of structures for earthquake resistance.
- [4] Driver, R.G., Kulak, G. L., Kennedy, D.J.L. and Elwi, A.E. "Cyclic tests of four-story steel plate shear wall" J. of Structural Eng., ASCE, Vol. 124, No. 2, Feb., pp. 112-120, (1998).
- [5] Kulak, G.L. "Unstiffened steel plate shears walls", Applied Science Publications, London, pp. 237-276, (1991).

- [19] Priestley, M.J.N., Calvi, G.M. and Kowalsky, M.J. "Displacement-based seismic sesigan of structures", IUSS Press chapter 1, 2, 3 and 6 (2006).
- [20] Izzuddin, B. A., and Smith, D. L., "Efficient nonlinear analysis of elasto-plastic 3D R/C frames using adaptive techniques" Computers and Structures, Vol 78, pp. 549–573, (2000).
- [21] Vivo, L. De., and Rosati, L., "Ultimate Strength analysis of Reinforced Concrete Sections Subject to Axial force and Biaxial Bending" , Comput. Methods Appl. Mech. Engrg. Vol. 166 . pp. 261-287, (1998).
- [22] Sfakianakis, M. G., "Biaxial bending with axial force of reinforced, composite and repaired concrete sections of arbitrary shape by fiber model and computer graphics", Advances in Engineering Software, Vol. 33, pp. 227–242, (2002).
- [23] Penelis, G. G., and Kappos, A. J., Earthquake resistant concrete structures, E and FN SPON ed., London, (1997).
- [24] Chiorean, C.G., "A computer method for nonlinear inelastic analysis of 3D compositesteele-concrete frame structures" .Engineering Structures, Vol. 57, pp. 125–152, (2013).
- [۲۵] اخویسی، ا.ه. ربیعی قهقرخی، م. زهرائی، س، م. الگوریتمی کارامد برای مدلسازی رفتار غیرخطی تیرهای بتن مسلح با استفاده از اجزای ماکرو، نشریه روشاهی عددی در مهندسی، سال ۳۱ ، شماره ۲، زمستان ۱۳۹۰
- [26] Soleimani, D., Popov, E.P. and Bertero, V.V. "Nonlinear Beam Model for R/C Frame Analysis." *7thASCE Conference on Electronic Computation*, St. Louis (1979).
- [27] Darvall, L.P. and Mendis, P. "Elastic-Plastic-Softening Analysis of Plane Frames." *Journal of StructuralEngineering*, ASCE, 11(ST4), pp. 871-888 (1985).

New Mathematical Model of the Interaction Curves For Composite Shear Walls

A.H. Akhaveissy

Associate Professor of Civil Engineering, Razi University, Kermanshah, Iran

K. Daneshvar*

M.Sc. of Structural Engineering, Razi University, Kermanshah, Iran

M. Amooie

M.Sc. of Structural Engineering, Islamic Azad University South Tehran Branch, Tehran, Iran

Abstract

Elastic and inelastic performance of structure members can be evaluated by Bending moment–axial force interaction surfaces in a non - linear process. The use of composite shear wall structures is common method in the past two decades. In this research, this kind of surfaces are being introduced for the first time to be utilized in composite shear walls, which can be used in analyzing and designing without the need to non - linear analysis. Composite shear walls used for high-rise buildings, offer more lateral stiffness, bending resisting moment, Energy dissipation and ductility in comparison with other ordinary walls. Here, a simple, efficient and expeditious method is presented for nonlinear analysis of reinforced concrete structural members, based on fiber method concepts. One of the considerable advantages of this method is its high speed in nonlinear analysis of structural members that makes it distinctive from the others. The OpenSees software is used for modelling the discussed shear walls.

Keywords: Interaction Surfaces, Nonlinear Analysis of Composite Shear Walls, Fiber Method, Moment-Curvature Diagram.

* Corresponding Author: daneshvar2@yahoo.com

